

11. Lysenko V. I., Maslov A. A. The effect of cooling on the supersonic boundary layer stability // J. Fluid Mech.— 1984.— V. 147.
12. Приданов В. Г., Харитонов А. М., Черных В. В. Влияние числа Маха и единичного числа Рейнольдса на переход ламинарного пограничного слоя в турбулентный // Аэрофизические исследования.— Новосибирск: ИТПМ СО АН СССР, 1972.

Поступила 27/VIII 1987 г.

УДК 532.526

УСТОЙЧИВОСТЬ ВЫСОКОСКОРОСТНОГО ПОГРАНИЧНОГО СЛОЯ

B. I. Лысенко

(Новосибирск)

В настоящее время считается общепризнанной прямая связь возникновения турбулентности с потерей устойчивости исходного ламинарного течения. Качественное влияние различных факторов на положение точки перехода ламинарной формы движения в турбулентную в целом предсказывается теорией устойчивости правильно. Это подтверждается результатами многочисленных исследований при дозвуковых и умеренных сверхзвуковых (при числах Маха $M = 2-5$) скоростях потока. Однако при больших сверхзвуковых скоростях ($M > 5$) экспериментальных работ по устойчивости пограничного слоя крайне мало, причем все они выполнены на конусах в одной и той же аэродинамической трубе AEDC/B (центр им. Арнольда) (см., например, [1]).

1. В данной работе экспериментально и теоретически изучается устойчивость пограничного слоя при больших сверхзвуковых скоростях потока. Эксперименты проведены в азотной трубе Т-327А ИТПМ СО АН СССР при единичном числе Рейнольдса ($Re_1)_\infty = (u/v)_\infty = (0,7-1) \cdot 10^6$ 1/м, температуре торможения в форкамере $T_0 = 1100-1260$ К и давлении $p_0^\phi = (11,6-13,2) \cdot 10^6$ Па. Чистота азота — 10 молекул кислорода на миллион молекул азота.

Рабочей моделью была полированная стальная плоская пластина длиной 330 и толщиной 8 мм, имеющая форму трапеции (ширина носика 62, а задней кромки 32 мм). Угол скоса передней кромки 7° , ее притупление $b = 0,1$ мм. В процессе измерений температура поверхности модели в области определения характеристик устойчивости пограничного слоя проверялась медью-константной термопарой. Температура поверхности модели изменялась крайне незначительно — на 2 %. Ее средняя величина $T_{(w)} = 297$ К. За счет изменения температуры торможения температурный фактор варьировался в пределах $T_w = T_{(w)}/T_{aw} = 0,28-0,32$ (T_{aw} — температура восстановления). Пластина устанавливалась в двух положениях — при $\omega_0 = 0$ (в режиме пластины) и $\omega_0 = 7^\circ$ (в режиме клина) (ω_0 — угол наклона пластины относительно невозмущенного потока). Устойчивость пограничного слоя определялась термоанемометром постоянного тока ТПТ-4. Для амплитудно-частотного анализа полученных сигналов использовались также усилители селективные У2-8, микровольтметр селективный В6-9, генератор сигналов ГЗ-112/1, ниточные термоанеметрические датчики с золоченой вольфрамовой нитью диаметром 6 мкм и длиной 1,5 мм. С помощью координатника датчик термоанемометра одновременно перемещался над поверхностью модели в двух направлениях — вдоль продольной и нормальной координат модели.

Пневтометрические измерения (для определения M на границе пограничного слоя и распределения скоростного напора и скорости поперек пограничного слоя) проводились тензометрическим датчиком полного давления с диаметром приемного отверстия 2 мм.

Для исследованного течения параметр вязкого взаимодействия (между пограничным слоем и внешним невязким течением) $\chi \simeq M_\infty^3 / (Re_\infty)^{1/2} = 18 > 1$, т. е. наблюдается сильное взаимодействие. Пограничный слой влияет на внешнее течение так же, как и утолщение тела (на величину толщины вытеснения пограничного слоя). Например, на плоской пластине пограничный слой индуцирует головную ударную волну. Полный угол

поворота потока $\omega = \omega_0 + d\delta^*/dx$ (ω_0 — местный угол отклонения поверхности тела от направления невозмущенного потока, $\Delta\omega = d\delta^*/dx$ — дополнительное отклонение потока, отвечающее толщине вытеснения пограничного слоя δ^* , x — продольная координата).

В проведенных экспериментах число Рейнольдса $R = (Re_x)^{1/2} = ((u/v_e)x)^{1/2}$ варьировалось в диапазоне 480—600 (u — скорость течения, $v = \mu/\rho$ — кинематическая вязкость, ρ — плотность, индекс e означает, что параметры взяты на границе пограничного слоя). При обтекании тела влияние затупления модели b существенно, когда $x/bM_\infty^2 \ll 1$ или $M_\infty^{3/2}/(Re_b)^{1/2} \ll \chi$. В данных опытах эти величины соответственно $0,32 \sim 1$ и $10 \sim \chi$, т. е. влияние затупления передней кромки на невязкое поле течения несущественно. У течений разреженного газа [2] есть свои особенности. В наших исследованиях число Кнудсена $Kp = 0,034$ и $0,041$, т. е. имело место течение газа со скольжением. Скорость скольжения газа у стенки $w_R = w_R/u_e$ от 0,07 до 0,1—0,15.

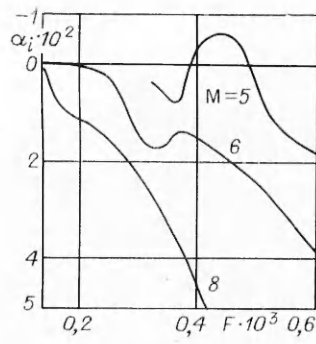
Измерения устойчивости пограничного слоя во всех экспериментах производились в слое $u/u_e = 0,4$, который близок к нижнему «критическому» слою с обобщенной точкой перегиба $\left(\frac{d}{dy}\left(\frac{1}{T}\frac{du}{dy}\right)\right) = 0$, y — нормальная координата). На их основе определялись степени (скорости) нарастания возмущений $\alpha_i = \frac{1}{A_f} \frac{x}{\sqrt{Re_x}} \frac{dA_i}{dx}$ (A_f — амплитуда возмущения для каждой размерной частоты f) в зависимости от безразмерной частоты $F = 2\pi f/(Re_1 u)$. Погрешность определения безразмерной частоты $\delta_F = \pm 1,8\%$, а $\delta_{\alpha_i} = \pm(15-22)\%$. Последняя величина относительно большая из-за уменьшения отношения сигнала к шуму термоанемометра по сравнению с исследованиями при $M = 2-4$. В данной работе предполагалось, что сигнал в пограничном слое и шум термоанемометра не коррелируют между собой и сигнал в пограничном слое на каждой частоте можно найти как $e_{\text{сигн}} = \sqrt{e_\Sigma^2 - e_{\text{шум}}^2}$. Исследования проведены в диапазоне размерных частот $f = 3-50$ кГц.

Предварительно перед экспериментами аналогичные зависимости $\alpha_i = \alpha_i(F)$ для течений, подобных экспериментальным, рассчитаны теоретически. За основу взята программа [3] (более подробная методика дана в [4]) численных расчетов степеней нарастания возмущений в пограничном слое при теплообмене.

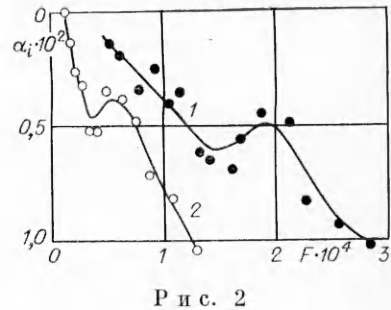
Рассмотрено течение сжимаемого теплопроводного газа в двумерном пограничном слое (систему уравнений см., например, в [5]). Расчеты проведены для азота и поверхности с заданной температурой стенки. Течение на пластине безградиентное, без учета скольжения газа у стенки. Для определения коэффициентов нарастания возмущений использовалась система уравнений устойчивости в приближении Дана — Линя [6] с граничными условиями: обращение на стенке в нуль возмущений продольной, нормальной скоростей и температуры и их затухание в бесконечности. Приняты: число Прандтля $Pr = 0,72$, постоянная адиабаты $\gamma = 1,41$, закон изменения вязкости от температуры по Саттерленду ($\mu = cT^{3/2}/(T + T_s)$, $c = \text{const}$, $T_s = 104$ К).

Результаты интегрирования позволяли получить информацию о возмущениях в виде зависимости $\alpha_i = \alpha_i(R, F, \chi)$ ($F = \omega/R$, ω — круговая частота, χ — угол распространения возмущений, т. е. угол наклона волн по отношению к основному течению, $R = (u_e x/v_e)^{1/2}$ — число Рейнольдса).

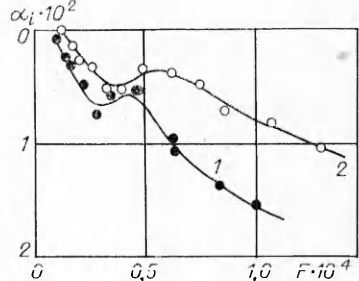
Для $M > 4$ и $T_w \approx 0,3$ [7, 8] неустойчивость течения может быть вызвана практически только второй (высокочастотной) модой возмущений (течение уже устойчиво по отношению к возмущениям первой моды, которые аналогичны волнам Толлмина — Шлихтинга в несжимаемой жидкости). Колебания второй моды возмущений (собственные акустические возмущения) — разновидность акустического резонанса в течении со



Р и с. 1



Р и с. 2



Р и с. 3

сдвигом [9, 10]. В [7] выяснено, что наклонные возмущения этого типа ($\chi \neq 0$) более устойчивы по сравнению с двумерными возмущениями ($\chi = 0$). Поэтому характеристики устойчивости рассчитаны для $\chi = 0$.

2. На рис. 1 показаны результаты расчета влияния числа Маха в диапазоне $M = 5-8$ на степень нарастания возмущений ($R = 580$, $T_w = 0,26$, $T_0 = 1300$ К). Видно сильное стабилизирующее влияние M . При этом частоты, соответствующие менее всего устойчивым колебаниям, уменьшаются.

На рис. 2 приведены аналогичные, но уже экспериментальные данные ($T_w = 0,30-0,28$, $T_0 = 1170-1260$ К, $R = 481-558$), здесь также видно стабилизирующее влияние M (кривая 2 лежит ниже 1). Качественное изменение кривых $\alpha_i(F)$ на рис. 1, 2 при разных значениях M одинаковое.

На рис. 3 представлены экспериментальные зависимости степеней нарастания возмущений от частоты для $T_w = 0,32$ ($T_0 = 1100$ К, $R = 600$ — кривая 1) и $0,28$ ($T_0 = 1260$ К, $R = 558$ — кривая 2). Заметно дестабилизирующее влияние охлаждения на вторую моду, что отвечает результатам теоретических [7, 8] и экспериментальных [3, 11] исследований.

При сравнении рис. 1 и 2, а также 3 и соответствующих расчетных зависимостей видно, что качественное изменение степеней нарастания возмущений при варьировании M и температурного фактора одинаково и для расчетных, и для экспериментальных данных.

Таким образом, результаты экспериментов, качественно подтверждая результаты теории для второй моды возмущений, показывают, что на устойчивость высокоскоростного пограничного слоя рост M влияет стабилизирующим образом, а охлаждение — дестабилизирующим; при этом для $R \leq 600$ течение на гладкой плоской пластине и клине устойчиво, а пограничный слой ламинарный.

Автор благодарен К. В. Валяеву и В. Я. Киселеву за помощь в работе.

ЛИТЕРАТУРА

1. Stetson K. F., Thompson E. R., Donaldson J. C., Siler L. G. Laminar boundary layer stability experiments on a cone at Mach 8. Pt 1: Sharp cone.— N. Y., July 1983.— (Paper/AIAA; N 83—1761). Pt 2: Blunt cone.— N. Y., January 1984.— (Paper/AIAA; N 84—0006). Pt 3: Sharp cone at angle of attack.— N. Y., January 1985.— (Paper/AIAA; N 85—0492). Pt 4: On unit Reynolds number and environmental effects.— N. Y., May 1986.— (Paper/AIAA; N 86—1087).
2. Абрамович Г. И. Прикладная газовая динамика.— М.: Наука, 1969.
3. Лысенко В. И., Маслов А. А. Влияние охлаждения на устойчивость сверхзвукового пограничного слоя.— Новосибирск, 1981.— (Препринт/ИТПМ СО АН СССР: № 31).
4. Гапонов С. А., Маслов А. А. Развитие возмущений в сжимаемых потоках.— Новосибирск: Наука, 1980.

5. Дорренс У. Х. Гиперзвуковые течения вязкого газа.— М.: Мир, 1966.
6. Линь Ц. Ц. Теория гидродинамической устойчивости.— М.: ИЛ, 1958.
7. Mack L. M. Boundary layer stability theory.— Pasadena, California: JPL, 1969.— (Document 900—277, Rev. A).
8. Лысенко В. И. О роли первой и второй мод возмущений в процессе перехода сверхзвукового пограничного слоя // ПМТФ.— 1985.— № 6.
9. Mack L. M. The inviscid stability of the compressible laminar boundary layer // Space Programs Summary 37—36.— Pasadena, California: JPL, 1964.— V. 4.
10. Gill A. A. Instabilities of «top-hat» jets and wakes in compressible fluids // Phys. Fluids.— 1965.— V. 8, N 8.
11. Lysenko V. I., Maslov A. A. The effect of cooling on the supersonic boundary layer stability // J. Fluid Mech.— 1984.— V. 147, Oct.

Поступила 12/III 1987 г.

УДК 532.526

О НЕСТАЦИОНАРНОМ РЕЖИМЕ ВЗАИМОДЕЙСТВИЯ В ПУЛЬСИРУЮЩЕМ ПОГРАНИЧНОМ СЛОЕ

C. H. Тимошин

(Москва)

Рассматриваются предельные свойства задачи Коши для интегродифференциального уравнения в частных производных, описывающего нестационарное взаимодействие в пульсирующем пограничном слое при больших числах Рейнольдса Re [1]. Показано, что если минимальная за период величина напряжения поверхностного трения перед областью взаимодействия отрицательна и по порядку величины больше, чем $Re^{-1/8}$, то в спектре возмущенного решения выделяется диапазон волновых чисел, для которых в ограниченном интервале времени происходит возбуждение соответствующих гармоник. Обсуждается физический механизм возбуждения как проявление мгновенной неустойчивости течения. Приведена классификация предельных форм течения в случае, когда минимум невозмущенного трения положителен и много больше, чем $Re^{-1/8}$.

1. Введение. В [1] изучалось течение со взаимодействием в пульсирующем пограничном слое в несжимаемой жидкости около плоской пластины с малой локальной деформацией поверхности. Асимптотическая теория течения при большом Re строилась в предположении, что поток вне пограничного слоя не меняет своего направления на всем периоде времени, а минимум невозмущенного напряжения трения на пластине перед областью взаимодействия по порядку величины равен $O(Re^{-1/8})$. Оказалось, что для построения равномерно пригодного по времени решения требуется исследование, по меньшей мере, трех характерных режимов взаимодействия. Наиболее интересным представляется нестационарное взаимодействие, которое реализуется в интервале времени длительностью $O(Re^{-1/16})$, когда невозмущенное трение на пластине близко к минимуму. Течение в этом интервале описывается сформулированной в [1] задачей Коши для нелинейного интегродифференциального уравнения в частных производных:

$$(1.1) \quad \frac{\partial B(X, T)}{\partial T} = -\gamma \frac{\partial}{\partial X} \int_{-\infty}^X \left\{ [B(\xi, T) + f(\xi)] [T^2 + \sigma + H_0(B(\xi, T) + f(\xi))] - \frac{1}{\gamma_0 2^{5/4}} \int_{\xi}^{+\infty} \frac{\partial^2 R(s, T)}{\partial s^2} \frac{ds}{(s - \xi)^{1/2}} \right\} \frac{d\xi}{(X - \xi)^{3/4}},$$

$$B(X, -\infty) = -f(X), \quad B(-\infty, T) = f(-\infty) = 0.$$

Здесь T — приведенное время; X — продольная координата; γ и γ_0 — фиксированные положительные постоянные; H_0 — эффективная амплитуда деформации пластины; функция $f(X)$ определяет форму деформации. Искомая функция $B(X, T)$ представляет собой одновременно возмущение продольной составляющей скорости и напряжения поверхностного трения, а также взятую с обратным знаком толщину вытеснения пристеноч-